

УДК 539.3

ЗАДАЧА СЕН-ВЕНАНА ДЛЯ ТЕЛ С ВИНТОВОЙ РОМБОЭДРИЧЕСКОЙ АНИЗОТРОПИЕЙ. ЗАДАЧИ РАСТЯЖЕНИЯ-КРУЧЕНИЯ

К. А. Ватульян, Ю. А. Устинов

Южный федеральный университет, 344006 Ростов-на-Дону
E-mails: vatulyan_karina@mail.ru, ustinov@math.rsu.ru

Методами однородных решений и спектральной теории операторов построение решений задач Сен-Венана о растяжении-кручении цилиндрической трубки с винтовой анизотропией сводится к интегрированию краевых задач для обыкновенных дифференциальных уравнений с переменными коэффициентами. Построение решений осуществляется аналитическими и численными методами. Проводится анализ элементов матрицы жесткостей и напряженно-деформированного состояния в зависимости от параметра задачи.

Ключевые слова: задачи Сен-Венана, жесткость, винтовая анизотропия, метод прогонки.

Настоящая работа посвящена построению решений задач Сен-Венана о растяжении и кручении цилиндра с винтовой ромбоэдрической анизотропией. Методами спектральной теории операторов [1–6] задачи сводятся к интегрированию краевых задач для обыкновенных дифференциальных уравнений. В частном случае цилиндрической ромбоэдрической анизотропии получено аналитическое решение. Для цилиндра с винтовой ромбоэдрической анизотропией решения задач построены двумя методами: для малых значений безразмерного параметра $\tau_0 = a\tau$, где a — радиус цилиндра; τ — “крутка” (характеристика винтовой анизотропии), аналитическое решение построено методом малого параметра, для произвольных значений τ — численным интегрированием соответствующих краевых задач.

1. ОСНОВНЫЕ СООТНОШЕНИЯ ТЕОРИИ УПРУГОСТИ И ПОСТАНОВКА КРАЕВЫХ ЗАДАЧ

1.1. Постановка задачи. Рассмотрим цилиндрическое тело, занимающее объем $V = S \times [0, L]$ (S — поперечное сечение цилиндра; L — его длина). Боковую поверхность обозначим $\Gamma = \partial S \times [0, L]$, ∂S — граница сечения S . С геометрическим центром тяжести одного из торцов цилиндра совместим начало декартовой системы координат $Ox_1x_2x_3$, направив ось Ox_3 по оси цилиндра. Эту систему координат будем называть основной. Для описания винтовой анизотропии введем винтовую цилиндрическую систему координат (r, θ, z) , связанную с основной соотношениями

$$x_1 = r \cos(\theta + \tau z), \quad x_2 = r \sin(\theta + \tau z), \quad x_3 = z, \quad (1.1)$$

где $\tau = \text{const}$.

Переход к цилиндрической системе обусловлен тем, что ниже основное внимание будет уделено решению задачи о цилиндре с кольцевым поперечным сечением $S = [r_1, r_2] \times [0, 2\pi]$ (r_1, r_2 — внутренний и внешний радиусы цилиндра соответственно).

При $r = \text{const}$, $\theta = \text{const}$ соотношения (1.1) являются параметрическими уравнениями винтовой линии, при этом $\tau = 2\pi/h$ (h — шаг винтовой спирали). Радиус-вектор точек винтовой линии представим в виде

$$\mathbf{R} = r\mathbf{e}'_1 + z\mathbf{e}'_3,$$

где

$$\begin{aligned} \mathbf{e}'_1 &= \mathbf{e}_r = \mathbf{i}_1 \cos(\theta + \tau z) + \mathbf{i}_2 \sin(\theta + \tau z), \\ \mathbf{e}'_2 &= \mathbf{e}_\theta = -\mathbf{i}_1 \sin(\theta + \tau z) + \mathbf{i}_2 \cos(\theta + \tau z), \quad \mathbf{e}'_3 = \mathbf{e}_z, \end{aligned}$$

\mathbf{i}_n — орты основной системы координат.

С винтовой линией свяжем естественный базис (репер Френе)

$$\mathbf{e}_1 = \mathbf{n}, \quad \mathbf{e}_2 = \mathbf{b}, \quad \mathbf{e}_3 = \mathbf{t},$$

где $\mathbf{n}, \mathbf{b}, \mathbf{t}$ — орты главной нормали, бинормали и касательной соответственно. Используя формулы

$$\begin{aligned} \frac{d\mathbf{R}}{ds} &= \mathbf{t}, \quad \frac{d\mathbf{t}}{ds} = k\mathbf{n}, \quad \mathbf{b} = \mathbf{t} \times \mathbf{n}, \\ ds &= g dz, \quad g^2 = 1 + x^2, \quad x = \tau r, \end{aligned}$$

где $k = \tau^2 r / g^2$ — кривизна винтовой линии, после ряда преобразований получаем ортогональную матрицу перехода от базиса \mathbf{e}_j к базису \mathbf{e}'_i

$$A = \begin{vmatrix} -1 & 0 & 0 \\ 0 & -1/g & x/g \\ 0 & x/g & 1/g \end{vmatrix}.$$

Будем считать, что материал цилиндра в базисе \mathbf{e}_i обладает ромбоэдрической симметрией. Связь между напряжениями и деформациями запишем в векторно-матричной форме [7]

$$\boldsymbol{\sigma} = C\boldsymbol{\varepsilon}, \quad \boldsymbol{\sigma} = (\sigma_1, \dots, \sigma_6)^T, \quad \mathbf{e} = (e_1, \dots, e_6)^T. \quad (1.2)$$

Здесь

$$C = \begin{pmatrix} c_{11} & c_{12} & c_{13} & c_{14} & 0 & 0 \\ c_{12} & c_{11} & c_{13} & -c_{14} & 0 & 0 \\ c_{13} & c_{13} & c_{33} & 0 & 0 & 0 \\ c_{14} & -c_{14} & 0 & c_{44} & 0 & 0 \\ 0 & 0 & 0 & 0 & c_{44} & c_{14} \\ 0 & 0 & 0 & 0 & c_{14} & c_{66} \end{pmatrix},$$

$$\varepsilon_1 = \varepsilon_{11}, \quad \varepsilon_2 = \varepsilon_{22}, \quad \varepsilon_3 = \varepsilon_{33}, \quad \varepsilon_4 = 2\varepsilon_{34}, \quad \varepsilon_5 = 2\varepsilon_{13}, \quad \varepsilon_6 = 2\varepsilon_{12},$$

$$\sigma_1 = \sigma_{11}, \quad \sigma_2 = \sigma_{22}, \quad \sigma_3 = \sigma_{33}, \quad \sigma_4 = \sigma_{23}, \quad \sigma_5 = \sigma_{13}, \quad \sigma_6 = \sigma_{12},$$

$\varepsilon_{ij}, \sigma_{ij}$ — компоненты тензоров малых деформаций и напряжений соответственно.

Обозначим через $\boldsymbol{\sigma}', \boldsymbol{\varepsilon}', C'$ вектор напряжений, вектор деформаций, матрицу модулей упругости соответственно в базисе винтовой системы координат \mathbf{e}'_j . При этом закон Гука принимает вид

$$\boldsymbol{\sigma}' = C'\boldsymbol{\varepsilon}', \quad C' = (c'_{ij}) \quad (i = 1, \dots, 6, j = 1, \dots, 6), \quad (1.3)$$

где

$$\begin{aligned}
c'_{11} &= c_{11}, & c'_{12} &= (c_{12} - 2c_{14}x + c_{13}x^2)/g^2, \\
c'_{13} &= (c_{13} + 2c_{14}x + c_{12}x^2)/g^2, & c'_{14} &= [(c_{12} - c_{13})x - c_{14}(x^2 - 1)]/g^2, \\
c'_{22} &= [c_{11} + 4c_{14}x + (c_{13} + 2c_{44})2x^2 + c_{33}x^4]/g^4, \\
c'_{23} &= [c_{13} - 2c_{14}x + (c_{11} + c_{33} - 4c_{44})x^2 + 2c_{14}x^3 + c_{13}x^4]/g^4, \\
c'_{24} &= [-c_{14} - (c_{13} + 2c_{44} - c_{11})x + 3c_{14}x^2 - (c_{33} - c_{13} - 2c_{44})x^3]/g^4, \\
c'_{33} &= [c_{33} + 2(c_{13} + 2c_{44})x^2 - 4c_{14}x^3 + c_{11}x^4]/g^4, \\
c'_{34} &= [-(c_{33} - c_{13} - 2c_{44})x - 3c_{14}x^2 - (2c_{44} + c_{13} - c_{11})x^3 + c_{14}x^4]/g^4, \\
c'_{44} &= [c_{44} - 2c_{14}x + (-2c_{13} + c_{11} + c_{33} - 2c_{44})x^2 + 2c_{14}x^3 + c_{44}x^4]/g^4, \\
c'_{55} &= (c_{44} + 2c_{14}x + c_{66}x^2)/g^2, & c'_{56} &= x[c_{14} - (c_{44} - c_{66})x - c_{14}x^2]/g^2, \\
c'_{66} &= (c_{66} - 2c_{14}x + c_{44}x^2)/g^2.
\end{aligned}$$

Ниже используется следующая связь между различными обозначениями:

$$\begin{aligned}
\sigma'_1 &= \sigma_{rr}, & \sigma'_2 &= \sigma_{\theta\theta}, & \sigma'_3 &= \sigma_{zz}, & \sigma'_4 &= \sigma_{\theta z}, & \sigma'_5 &= \sigma_{rz}, & \sigma'_6 &= \sigma_{r\theta}, \\
\varepsilon'_1 &= \varepsilon_{rr}, & \varepsilon'_2 &= \varepsilon_{\theta\theta}, & \varepsilon'_3 &= \varepsilon_{zz}, & \varepsilon'_4 &= 2\varepsilon_{\theta z}, & \varepsilon'_5 &= 2\varepsilon_{rz}, & \varepsilon'_6 &= 2\varepsilon_{r\theta}.
\end{aligned}$$

Компоненты тензора деформаций в базисе винтовой системы координат выражаются через координаты вектора смещения $\mathbf{u} = (u_r, u_\theta, u_z)^T$ по следующим формулам:

$$\begin{aligned}
\varepsilon_{rr} &= \partial_r u_r, & \varepsilon_{\theta\theta} &= (u_r + \partial_\theta u_\theta)/r, & \varepsilon_{zz} &= D u_z, \\
2\varepsilon_{r\theta} &= \partial_r u_\theta + (\partial_\theta u_r - u_\theta)/2, & 2\varepsilon_{rz} &= \partial_r u_z + D u_r, \\
2\varepsilon_{z\theta} &= \partial_\theta u_z + D u_\theta.
\end{aligned} \tag{1.4}$$

В данном случае уравнения равновесия в напряжениях имеют вид

$$\begin{aligned}
\partial_r(r\sigma_{rr}) - \sigma_{\theta\theta} + \partial_\theta\sigma_{r\theta} + rD\sigma_{rz} &= 0, \\
\partial_r(r\sigma_{r\theta}) + \sigma_{r\theta} + \partial_\theta\sigma_{\theta\theta} + rD\sigma_{\theta z} &= 0, \\
\partial_r(r\sigma_{rz}) + \partial_\theta\sigma_{\theta z} + rD\sigma_{zz} &= 0.
\end{aligned} \tag{1.5}$$

В формулах (1.4), (1.5)

$$\partial_r = \frac{\partial}{\partial r}, \quad \partial_\theta = \frac{\partial}{\partial \theta}, \quad \partial = \frac{\partial}{\partial z}, \quad D = \partial - \tau \partial_\theta.$$

Будем считать, что боковая поверхность цилиндра свободна от напряжений:

$$r = r_\alpha \quad (\alpha = 1, 2): \quad \sigma_{rr} = 0, \quad \sigma_{r\theta} = 0, \quad \sigma_{rz} = 0. \tag{1.6}$$

1.2. Векторно-операторный вид задачи. Поставленную задачу можно представить в векторно-операторном виде

$$M(\partial, \tau)\mathbf{u} \equiv \partial^2 A_0 \mathbf{u} + \partial A_1 \mathbf{u} + A_2 \mathbf{u} = 0; \tag{1.7}$$

$$N(\partial, \tau)\mathbf{u} \equiv (\partial B_0 \mathbf{u} + B_1 \mathbf{u})|_\Gamma = 0. \tag{1.8}$$

Уравнения (1.7), (1.8) — уравнения равновесия и граничные условия, где A_k, B_i ($k = 0, 1, 2, i = 0, 1$) — матричные дифференциальные операторы по переменным r, θ нулевого, первого и второго порядков. Конкретный вид операторов A_k, B_i в данной работе не приводится.

Заметим только, что в силу соотношений (1.3) коэффициенты этих операторов зависят от r и τ , но не зависят от z , что позволяет искать решение в виде

$$\mathbf{u} = \mathbf{a} e^{\gamma z}.$$

В результате получаем спектральную задачу на сечении $z = \text{const}$

$$M_1(\gamma)\mathbf{a} \equiv \{M(\gamma)\mathbf{a}, N(\gamma)\mathbf{a}\} = 0. \quad (1.9)$$

Согласно общей теории квадратичных пучков симметричных операторов [8] спектр оператора $M_1(\gamma)$ дискретен, имеет точку сгущения на бесконечности и расположен в комплексной плоскости $\gamma = \alpha + i\beta$ симметрично относительно вещественной оси, т. е. при $\alpha \neq 0$ любому собственному значению (СЗ) $\gamma_s^+ = \gamma_s = \alpha_s + i\beta_s$, $\alpha_s \geq 0$, $\beta_s \geq 0$ соответствуют три СЗ $\gamma_{-s}^+ = \alpha_s - i\beta_s$, $\gamma_s^- = -\gamma_s$, $\gamma_{-s}^- = -\alpha_s - i\beta_s$. В [1, 3, 4] показано, что $\gamma_0 = 0$, $\gamma_1^\pm = \pm i\tau$ являются четырехкратными СЗ и кроме γ_1^\pm других чисто мнимых СЗ не существует.

Решение задачи (1.9) можно представить в виде [4]

$$\mathbf{u} = \mathbf{u}_S + \mathbf{u}_p,$$

где \mathbf{u}_S — решение Сен-Венана, которое соответствует СЗ $\gamma_0 = 0$, $\gamma_1^\pm = \pm i\tau$; \mathbf{u}_p — решение, соответствующее остальной части спектра и имеющее вид

$$\mathbf{u}_p = \sum_k [C_k^- u_k^-(z) + C_k^+ u_k^+(z - L)], \quad u_k^\pm(z) = a_k^\pm \exp(\gamma_k^\pm z),$$

C_k^\pm — произвольные постоянные.

Решение \mathbf{u}_S является “основным”, поскольку охватывает всю область, занятую цилиндром, решение \mathbf{u}_p — “погранслоем”, поскольку локализуется вблизи торцов цилиндра $z = 0, L$ и экспоненциально убывает по мере удаления от них.

Следует отметить, что напряженное состояние решения Сен-Венана в любом поперечном сечении $z = \text{const}$ в интегральном смысле эквивалентно главному вектору и главному моменту внешних усилий, приложенных к одному из торцов цилиндра. Главный вектор и главный момент напряжений, соответствующие любым значениям $u_k^\pm(z)$, равны нулю.

2. ЭЛЕМЕНТАРНЫЕ РЕШЕНИЯ СЕН-ВЕНАНА ЗАДАЧИ РАСТЯЖЕНИЯ-КРУЧЕНИЯ

Решение Сен-Венана задачи растяжения-кручения [3, 4] является линейной комбинацией элементарных решений, соответствующих четырехкратному СЗ $\gamma_0 = 0$, и может быть представлено в виде

$$\mathbf{u}_S = \sum_{l=1}^4 X_l \mathbf{u}_l,$$

$$\begin{aligned} \mathbf{u}_1 &= (0, 0, 1)^T, & \mathbf{u}_2 &= (0, r, 0)^T, & \mathbf{u}_3 &= z\mathbf{u}_1 + \mathbf{a}_3, & \mathbf{u}_4 &= z\mathbf{u}_2 + \mathbf{a}_4, \\ \mathbf{a}_s &= (a_{r,s}, a_{\theta,s}, a_{z,s})^T, & & & & & s &= 3, 4. \end{aligned}$$

Здесь \mathbf{a}_s — вектор-функции, координаты которых зависят от r и определяются решением краевых задач, приведенных ниже; X_1 — постоянная, имеющая смысл смещения цилиндра как твердого тела вдоль оси Oz ; X_2 — постоянная, имеющая смысл угла поворота относительно оси Oz ; X_3, X_4 — постоянные, механический смысл которых поясняется ниже.

Рассмотрим задачу определения вектор-функций \mathbf{a}_s . С учетом формул (1.3) определим напряжения, соответствующие векторам \mathbf{u}_s :

$$\begin{aligned}\boldsymbol{\sigma}'_s &= C'_s \boldsymbol{\varepsilon}_s^{(1)} + C'_s \boldsymbol{\varepsilon}_s^{(0)}, \\ \boldsymbol{\varepsilon}_s^{(1)} &= \left(\frac{da_{r,s}}{dr}, \frac{a_{r,s}}{r}, 0, \frac{da_{z,s}}{dr}, \frac{da_{\theta,s}}{dr} - \frac{a_{\theta,s}}{r} \right)^T, \\ \boldsymbol{\varepsilon}_3^{(0)} &= (0, 0, 1, 0, 0, 0)^T, \quad \boldsymbol{\varepsilon}_4^{(0)} = (0, 0, 0, r, 0, 0)^T.\end{aligned}\quad (2.1)$$

Поскольку координаты векторов $\boldsymbol{\sigma}'_s$ зависят только от r , из уравнений равновесия (1.5) и граничных условий (1.6) получаем

$$\begin{aligned}\partial_r(r\sigma_{rr,s}) - \sigma_{\theta\theta,s} &= 0, & \sigma_{rr,s}(r_\alpha) &= 0, \\ \partial_r(r\sigma_{r\theta,s}) + \sigma_{r\theta,s} &= 0, & \sigma_{r\theta,s}(r_\alpha) &= 0, \\ \partial_r(r\sigma_{rz,s}) &= 0, & \sigma_{rz,s}(r_\alpha) &= 0,\end{aligned}\quad (2.2)$$

откуда следует, что

$$\sigma_{r\theta,s} = \sigma_{rz,s} = 0.$$

Из этих соотношений и выражений (2.1) для $\sigma_{r\theta,s}, \sigma_{rz,s}$ находим

$$a_{\theta,s} = X_{1,s}r + X_{0,s}, \quad a_{z,s} = X_{2,s},$$

где $X_{0,s}, X_{1,s}, X_{2,s}$ — произвольные постоянные, которые можно положить равными нулю.

Подставляя выражения для $\sigma_{rr,s}, \sigma_{\theta\theta,s}$ из (2.1) в (2.2), для определения $a_{r,s}$ получаем краевые задачи

$$Za_{r,s} = F_s, \quad la_{r,s}|_{r=r_\alpha} = f_{\alpha,s}, \quad (2.3)$$

где

$$\begin{aligned}Za_s &= \frac{d}{dr} \left(rc'_{11} \frac{da_s}{dr} + c'_{12} a_s \right) - c'_{12} \frac{da_s}{dr} - \frac{1}{r} c'_{22} a_s, & la_s &= c'_{11} \frac{da_s}{dr} + \frac{1}{r} c'_{12} a_s, \\ s = 3: & \quad F_3 = -\frac{d(rc'_{13})}{dr} + c'_{23}, & f_{\alpha,3} &= -c'_{13}(r_\alpha), \\ s = 4: & \quad F_4 = -\frac{d(r^2 c'_{14})}{dr} + rc'_{24}, & f_{\alpha,4} &= -r_\alpha c'_{14}(r_\alpha).\end{aligned}$$

Определим постоянные X_l ($l = 1, \dots, 4$). Будем считать, что на торцах цилиндра заданы граничные условия

$$z = 0: \quad u_r = u_\theta = u_z = 0; \quad (2.4)$$

$$z = L: \quad \sigma_{rz} = p_r, \quad \sigma_{z\theta} = p_\theta, \quad \sigma_{zz} = p_z, \quad (2.5)$$

где функции p_r, p_θ, p_z зависят только от r .

Будем считать, что внешние заданные напряжения эквивалентны растягивающей силе P_z и крутящему моменту M_z :

$$2\pi \int_{r_1}^{r_2} p_r r dr = 0, \quad 2\pi \int_{r_1}^{r_2} p_\theta r dr = 0, \quad 2\pi \int_{r_1}^{r_2} p_z r dr = P_z, \quad 2\pi \int_{r_1}^{r_2} p_\theta r^2 dr = M_z.$$

Очевидно, что

$$\sigma_{z\theta} = X_3 \sigma_{z\theta,3} + X_4 \sigma_{z\theta,4}, \quad \sigma_{zz} = X_3 \sigma_{zz,3} + X_4 \sigma_{zz,4}$$

($\sigma_{\theta z,s}, \sigma_{zz,s}$ определяются из соотношений (2.1)). Используя эти выражения, чтобы удовлетворить граничным условиям (2.5) в интегральном смысле, получаем

$$d_{11}X_3 + d_{12}X_4 = P_z, \quad d_{21}X_3 + d_{22}X_4 = M_z,$$

где

$$d_{11} = 2\pi \int_{r_1}^{r_2} r \sigma_{zz,3} dr, \quad d_{22} = 2\pi \int_{r_1}^{r_2} r^2 \sigma_{z\theta,4} dr,$$

$$d_{12} = 2\pi \int_{r_1}^{r_2} r \sigma_{zz,4} dr = d_{21} = 2\pi \int_{r_1}^{r_2} r^2 \sigma_{z\theta,3} dr.$$

Согласно работе [4] при граничных условиях (2.4) и $r_2/L \ll 1$ можно считать, что $X_1 = X_2 = 0$.

3. МЕТОДЫ ПОСТРОЕНИЯ ЭЛЕМЕНТАРНЫХ РЕШЕНИЙ СЕН-ВЕНАНА И РЕЗУЛЬТАТЫ ЧИСЛЕННОГО АНАЛИЗА

3.1. Метод малого параметра. Сначала построим аналитические решения. Преобразуем выражения (1.2), (1.3), выполнив в них замены $r = r_2\xi$, $\tau_0 = r_2\tau$. Предполагая, что безразмерный параметр $\tau_0 \ll 1$, разложим c'_{ml} в ряды по τ_0 . В результате получаем следующие выражения для главных членов разложений:

$$\begin{aligned} c'_{11} &= c_{11}, & c'_{12} &= c_{12} - 2c_{14}\tau_0\xi, & c'_{13} &= c_{13} + 2c_{14}\tau_0\xi, \\ c'_{14} &= c_{14} + \tau_0\xi(c_{12} - c_{13}), & c'_{22} &= c_{11} + 4c_{14}\tau_0\xi, \\ c'_{23} &= c_{13} - 2c_{14}\tau_0\xi, & c'_{24} &= -c_{14} - \tau_0\xi(c_{13} + 2c_{44} - c_{11}), \\ c'_{33} &= c_{33}, & c'_{34} &= (-c_{33} + c_{13} + 2c_{44})\tau_0\xi, & c'_{44} &= c_{44} - 2c_{14}\tau_0\xi, \\ c'_{55} &= c_{44} + 2c_{14}\tau_0\xi, & c'_{56} &= c_{14}\tau_0\xi, & c'_{66} &= c_{66} - 2c_{14}\tau_0\xi. \end{aligned} \quad (3.1)$$

Решение краевых задач (2.3) будем искать в виде

$$a_{r,s} = a_s^{(0)} + \tau_0 a_s^{(1)} + \dots \quad (3.2)$$

Подставляя выражения (3.1), (3.2) в соотношения (2.3), после ряда стандартных преобразований и интегрирования получаем задачи

$$a_{r,3} = -\nu'\xi + O(\tau_0^2),$$

$$a_{r,4} = -K_0 r^2 + K_1 R_2 K_0 \frac{1}{r} + K_0 R_1 r + O(\tau_0^2),$$

где

$$\nu' = \frac{c_{13}}{c_{11} + c_{12}}, \quad K_0 = \frac{c_{14}}{c_{11}}, \quad K_1 = \frac{c_{11} + c_{12}}{c_{11} - c_{12}}, \quad R_1 = \frac{r_1^2 + r_2^2 + r_1 r_2}{r_1 + r_2}, \quad R_2 = \frac{(r_1 r_2)^2}{r_1 + r_2}.$$

Приведем выражения для главных членов компонент тензоров напряжений:

$$\begin{aligned} \sigma_{zz,3} &= E' + O(\tau_0), & \sigma_{\theta z,3} &= O(\tau_0), \\ \sigma_{r\theta,l} = \sigma_{rz,l} &= 0, & \sigma_{rr,3} &= \sigma_{\theta\theta,3} \equiv O(\tau_0^2), \end{aligned}$$

$$\begin{aligned}\sigma_{rr,4} &= K_0(c_{11} + c_{12})(-r - R_2/r^2 + R_1) + O(\tau_0), \\ \sigma_{\theta\theta,4} &= K_0(c_{11} + c_{12})(-2r + R_2/r^2 + R_1) + O(\tau_0), \\ \sigma_{zz,4} &= K_0c_{13}(-3r + 2R_1) + O(\tau_0), \\ \sigma_{\theta z,4} &= r(c_{44} - K_0c_{14}) - 2K_0K_1c_{14}R_2/r^2 + O(\tau_0).\end{aligned}$$

Здесь $E' = c_{33} - 2\nu'c_{13}$.

ЗАМЕЧАНИЕ. Главным членам приведенных выше формул соответствует решение задач растяжения и кручения цилиндра с цилиндрической ромбоэдрической анизотропией. Эти задачи решались в [9]. Однако при использовании полуобратного метода авторы работы [9] допустили существенные ошибки, в результате чего были получены неверные результаты. В [10] предпринята попытка исправить эти ошибки.

3.2. Метод численного интегрирования краевых задач. Для проведения численного интегрирования задачу (2.3) представим в виде системы дифференциальных уравнений первого порядка, введя вектор $\mathbf{y}_s = (y_{1,s}, y_{2,s})^T$ с координатами

$$y_{1,s} = a_{r,s}, \quad y_{2,s} = r\sigma_{rr,s}/c_{11}.$$

Тогда краевые задачи (2.3) можно записать в виде

$$\frac{d\mathbf{y}_s}{dr} - A\mathbf{y}_s = \mathbf{q}_s, \quad y_{2,s}(r_\alpha) = 0, \quad (3.3)$$

где элементы матрицы A и координаты векторов \mathbf{q}_s имеют следующий вид:

$$\begin{aligned}A_{11} &= -\frac{c'_{12}}{rc'_{11}}, & A_{12} &= \frac{1}{rc'_{11}}, & A_{21} &= \frac{c'_{11}c'_{22} - c'^2_{12}}{rc'_{11}}, & A_{22} &= \frac{c'_{12}}{rc'_{11}}, \\ q_{1,3} &= -\frac{c'_{13}}{c'_{11}}, & q_{2,3} &= c'_{23} - \frac{c'_{12}c'_{13}}{c'_{11}}, & q_{1,4} &= -\frac{rc'_{14}}{c'_{11}}, & q_{2,4} &= r\left(c'_{24} - \frac{c'_{12}c'_{14}}{c'_{11}}\right).\end{aligned}$$

Численное интегрирование краевых задач (3.3) осуществлялось методом прогонки. Решение задач (3.3) отыскивалось в виде

$$\mathbf{y}_s = \mathbf{y}_s^0 + B_s\mathbf{y}_s^1,$$

где $\mathbf{y}_s^0, \mathbf{y}_s^1$ — решения задач Коши

$$\begin{aligned}\frac{d\mathbf{y}_s^0}{dr} - A\mathbf{y}_s^0 &= \mathbf{y}_s, & \mathbf{y}_s^0(r_1) &= (0, 0)^T, \\ \frac{d\mathbf{y}_s^1}{dr} - A\mathbf{y}_s^1 &= 0, & \mathbf{y}_s^1(r_1) &= (1, 0)^T,\end{aligned}$$

а постоянные B_s определены из условий

$$y_{2,s}(r_2) = B_sy_{2,s}^1(r_2) + y_{2,s}^0(r_2) = 0,$$

для того чтобы решения удовлетворяли граничным условиям при $r = r_2$.

В заключение приведем некоторые результаты численного анализа задачи. Все расчеты проводились для цилиндра с ромбоэдрической в базисе Френе анизотропией при следующих значениях модулей упругости [11]: $c_{11} = 86,8 \cdot 10^9$ Па, $c_{33} = 105,75 \cdot 10^9$ Па, $c_{44} = 58,2 \cdot 10^9$ Па, $c_{12} = 7,04 \cdot 10^9$ Па, $c_{13} = 11,91 \cdot 10^9$ Па, $c_{14} = -18,04 \cdot 10^9$ Па.

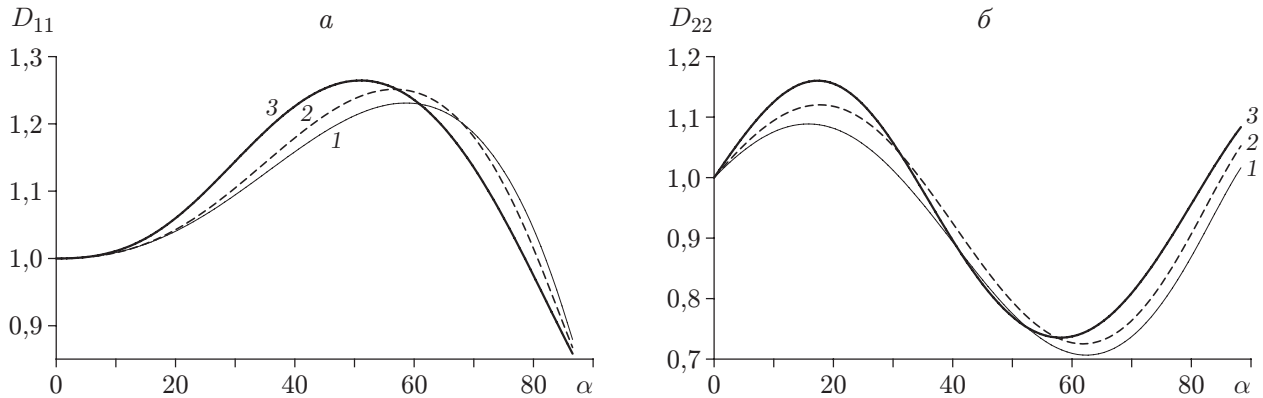


Рис. 1. Зависимости жесткости на растяжение D_{11} (а) и кручение D_{22} (б) от параметра α при различных значениях параметра a :
1 — $a = 0,1$; 2 — $a = 0,4$; 3 — $a = 0,8$

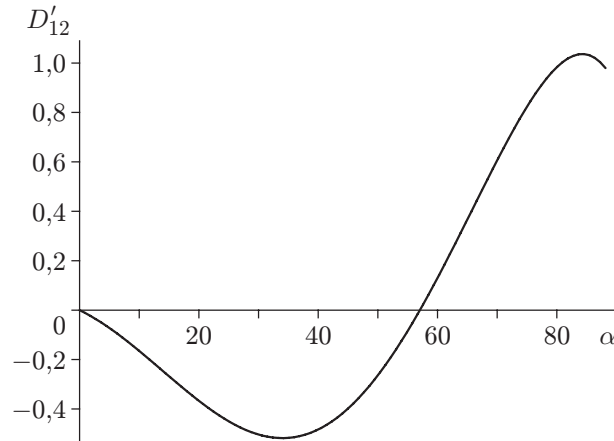


Рис. 2. Зависимость $D'_{12}(\alpha)$ при $a = 0,4$

На основе численного интегрирования исследовались зависимости нормированных элементов матрицы жесткостей

$$D_{11} = d_{11}/d_{11}^0, \quad D_{22} = d_{22}/d_{22}^0, \quad D'_{12} = d_{12}/(r_2 d_{11}^0) \quad (3.4)$$

от параметра $\alpha = \arctg \tau_0 \in [0, \pi/2]$ при различных значениях параметра $a = r_1/r_2$. В (3.4)

$$d_{11}^0 = \pi E'(r_2^2 - r_1^2), \quad d_{22}^0 = \frac{\pi}{2} (r_2^4 - r_1^4) \left(c_{44} - \frac{c_{14}^2}{c_{11}} \right) - 4\pi \frac{c_{14}^2}{c_{11}} \frac{c_{12} + c_{11}}{c_{11} - c_{12}} \frac{(r_1 r_2)^2 (r_2 - r_1)}{r_1 + r_2}$$

соответственно жесткости на растяжение и кручение цилиндра, рассматриваемого как стержень, при $\alpha = 0$.

На рис. 1 приведены зависимости жесткости на растяжение D_{11} и кручение D_{22} от параметра α , на рис. 2 — зависимость $D'_{12}(\alpha)$. Из рис. 1, 2 следует, что наибольшая жесткость на растяжение имеет место при значениях параметра α в диапазоне $[45^\circ, 65^\circ]$, жесткость на кручение — в диапазоне $[10^\circ, 25^\circ]$. Жесткость на кручение также имеет минимум — в диапазоне значений α $[50^\circ, 65^\circ]$.

Следует отметить, что при любом фиксированном значении параметра a существует такое значение $\alpha = \alpha_*$ ($\alpha_* \neq 0, \pi/2$), при котором d_{12} меняет знак на противоположный. При этом значении α (как и при $\alpha = 0, \pi/2$) растяжение-сжатие цилиндра не вызывает кручения, и, наоборот, кручение не вызывает продольной деформации.

ЛИТЕРАТУРА

1. **Устинов Ю. А.** Решение задачи Сен-Венана для стержня с винтовой анизотропией // Докл. АН. 2001. Т. 360, № 6. С. 770–773.
2. **Устинов Ю. А., Курбатова Н. В.** Задачи Сен-Венана для стержней с физической и геометрической анизотропией // Изв. вузов. Сев.-Кавк. регион. Мат. моделирование. 2001. Спецвыпуск. Естеств. науки. С. 154–157.
3. **Устинов Ю. А.** Решение задачи Сен-Венана для цилиндра с винтовой анизотропией // Прикл. математика и механика. 2003. Т. 67, вып. 1. С. 89–98.
4. **Устинов Ю. А.** Задачи Сен-Венана для псевдоцилиндров. М.: Наука, 2003.
5. **Устинов Ю. А.** Некоторые задачи для цилиндрических тел с винтовой анизотропией // Успехи механики. 2003. № 4. С. 37–62.
6. **Романова Н. М., Устинов Ю. А.** Задача Сен-Венана об изгибе цилиндра с винтовой анизотропией // Прикл. математика и механика. 2008. Т. 72, вып. 4. С. 668–677.
7. **Лехницкий С. Г.** Теория упругости анизотропного тела. М.: Наука, 1977.
8. **Гетман И. П.** Математическая теория нерегулярных твердых волноводов / И. П. Гетман, Ю. А. Устинов. Ростов н/Д: Изд-во Рост. гос. ун-та, 1993.
9. **Городцов В. А., Лисовенко Д. С.** Упругие свойства графитовых стержней и многослойных углеродных нанотрубок (кручение и растяжение) // Изв. РАН. Механика твердого тела. 2005. № 4. С. 42–56.
10. **Ватульян К. А., Устинов Ю. А.** Задача Сен-Венана кручения цилиндрического анизотропного стержня // Математическое моделирование, вычислительная механика и геофизика: Тр. 5-й шк.-семинара, Ростов-на-Дону, 18–21 дек. 2006 г. Ростов н/Д: ЦВВР. 2007. С. 56–58.
11. **Шаскольская М. П.** Кристаллы. М.: Наука, 1985.

*Поступила в редакцию 12/III 2008 г.,
в окончательном варианте — 27/II 2009 г.*
